



## سنتز و شناسایی یورتان آکریلات تابش‌پز با گروه‌های کربوکسیل به عنوان پراکنش‌گر آنیونی پلیمری و بررسی پراکنش سیلیکا ( $\text{SiO}_2$ ) و دی‌اکسید تیتانیم ( $\text{TiO}_2$ )

فاطمه مهرعلی<sup>۱</sup>، فرهود نجفی<sup>۲\*</sup>، بهزاد شیرکوند هداوند<sup>۲</sup>

۱- دانشجوی کارشناسی ارشد، گروه شیمی آلی، دانشگاه پیام نور تهران، تهران، ایران، صندوق پستی: ۴۶۹۷-۱۹۲۹۵

۲- استادیار، گروه پژوهشی رزین و افزودنی‌ها، موسسه پژوهشی علوم و فناوری رنگ و پوشش، تهران، ایران، صندوق پستی: ۱۶۷۶۵-۶۵۴

تاریخ دریافت: ۹۲/۴/۱۱ تاریخ پذیرش: ۹۳/۴/۷ در دسترس به صورت الکترونیکی از: ۱۳۹۳/۶/۲۰

### چکیده

در این تحقیق، یورتان آکریلات کربوکسیله تابش‌پز به وسیله دی‌متیلول پروپیونیک اسید (DMPA)، ایزوفسورن دی‌ایزوپیتانات (IPDI)، هیدروکسی‌اتیل متاکریلات (HEMA) در مجاورت کاتالیزور دی‌بوتیل‌تین دی‌لورات (DBTDL) و حلال استن سنتز شد. سپس گروه‌های کربوکسیلیک در پراکنش‌گر یورتان آکریلات تابش‌پز به وسیله تری‌اتیل آمین (TEA) خنثی شد. ساختار مولکولی پراکنش‌گر آنیونی یورتان آکریلات به وسیله طیف‌سنجی تبدیل فوریه زیر قرمز (FT-IR) مشخص شد. علاوه براین، از این پراکنش‌گرها برای پراکنش ذرات  $\text{TiO}_2$  و  $\text{SiO}_2$  استفاده شد و کیفیت و میزان پراکنش ذرات توسط گریندومتر بررسی شد. نتایج نشان دادند به دلیل وجود گروه‌های کربوکسیلات در زنجیره‌های پلیمری می‌توان به طور قابل توجهی زمان پراکنش را کاهش و پایداری ذرات در سوسپانسیون را افزایش داد. همچنین رابطه افزایش وزن مولکولی یورتان آکریلات کربوکسیله و عملکرد آن به عنوان پراکنش‌گر مورد بحث قرار گرفت.

واژه‌های کلیدی: سنتز، پراکنش‌گر پلیمری، پراکنش‌گر آنیونی، تابش‌پز، گریندومتر.

## Synthesis and Characterization of UV-Curable Carboxylated Urethane Acrylate as an Anionic Polymeric Dispersant and Dispersion Study of $\text{SiO}_2$ and $\text{TiO}_2$

F. Mehrali<sup>1</sup>, F. Najafi<sup>\*2</sup>, B. Shirkavand Hadavand<sup>2</sup>

<sup>1</sup> Department of Organic Chemistry, Tehran Payamnoor University, P.O.Box: 4697-19395, Tehran, Iran

<sup>2</sup> Department of Resin and Additives, Institute for Color Science and Technology, P.O.Box: 16765-654, Tehran, Iran

Received: 02-07-2013

Accepted: 28-06-2014

Available online: 11-12-2014

### Abstract

In this study, radiation curable carboxylated urethane acrylate as an anionic polymeric dispersant with dimethylol propionic acid (DMPA), isophorone diisocyanate (IPDI), hydroxyethyl methacrylate (HEMA) in presence of dibutyltin dilaurate (DBTDL) as catalyst and acetone were synthesized. Then the carboxylic groups in dispersants were neutralized with triethylamine (TEA). Molecular structure of anionic polyurethane acrylate dispersants (AUAD) were characterized by fourier transforms infrared spectroscopy (FT-IR). Moreover, the dispersants were used for dispersing of  $\text{TiO}_2$  and  $\text{SiO}_2$  and the quality and quantity of particles dispersion were examined by Grindometer. Results show that in presence of carboxylate groups in backbone of polymer significantly reduce the time of dispersing. Also dispersion stability of the particles in the suspension was increased. Also the relationship between the increasing of polyurethane molecular weight and its work as a dispersant was discussed. J. Color Sci. Tech. 8(2014), 213-220©. Institute for Color Science and Technology.

**Keywords:** Synthesis, Polymeric dispersant, Anionic dispersant, UV-curable, Grindometer.

گرفت. نانوذرات به وسیله جذب یک لایه پرائنس گر (پلیکتروولیت) در اطراف سطح ذره ثبیت شده‌اند و در این ارتباط نمک پلی‌متاکریلیک اسید (Darvan C) به عنوان پرائنس گر برای ثبیت سوسپانسیون مورد استفاده قرار گرفت [۸]. فرخ پی تاثیر پرائنس گرهای پلیمری حاوی گروه‌های عاملی مختلف روی سوسپانسیون رنگدانه  $TiO_2$  را مورد بررسی قرار داد. پرائنس گرهای منتخب پلی‌آکریلیک اسید و پلی‌آکریل آمیدهای اصلاح یافته شامل همو یا کوپلیمرهای اصلاح یافته با گروه‌های هیدروکسیل و یا کربوکسیلات بودند [۹].

کای<sup>۲</sup> و همکارانش، برای پرائنس ذره Al در سوسپانسیون آبی، از پلیکتروولیت آنیونی  $PAA^-$  و کاتیونی  $H^+$  PEI- $H^+$  به عنوان پرائنس گر استفاده کردند [۱۰]. لی<sup>۳</sup> و همکارانش، از پرائنس گر پلیمری WSPX برای تولید پرائندگی‌های پایدار آبی از نانوذرات نیکل استفاده کردند [۱۱]. دونگ کانگ فو<sup>۴</sup> و همکارانش، هوموپلیمر آکریلیک و کوبلیمر آکریلیک اسید با استرهای غیراشباع را به عنوان پرائنس گر برای پرائندگی کربنات کلسیم، به وسیله پلیمریزاسیون تراکمی سنتز کردند [۱۲].

به نظر می‌رسد تهیه مواد با پیوند دوگانه در بخش انتهایی ساختار و توانایی خوب برای جذب ذرات معدنی به عنوان یک پرائنس گر پلیمری برای سیستم‌های تابش‌پز مناسب است. این پرائنس گر می‌تواند ذرات را پرائندگه کند و در طول فرآیند پخت فرابینفش در زنجیره پلیمری شرکت کند.

هدف از انجام این پژوهش، سنتز یورتان متاکریلات آنیونی تابش‌پز، به عنوان پرائنس گر پلیمری برای استفاده در سیستم‌های تابش‌پز می‌باشد.

## ۲-بخش تجربی

### ۱-۲-مواد

مواد به کار رفته برای سنتز پرائنس گر پلی‌یورتان آکریلات کربوکسیله تابش‌پز عبارتند از ایزوفسرون دی‌ایزوپیونیات (IPDI)، دی‌متیلول پروپیونیک اسید (DMPA)، دی‌بوتیل‌تین دی‌لائورات (DBTDL)، استن، تری‌اتیل‌آمین (TEA)، هیدروکسی‌اتیل متاکریلات (HEMA) که همگی از شرکت مرک<sup>۵</sup> آلمان تهیه شدند.

### ۲-۲-روش کار

در ابتدا ۱ مول از دی‌متیلول پروپیونیک اسید (DMPA) درون ظرف

### ۱- مقدمه

تهیه مخلوط‌های جامد - مایع غلیظ با سیالیت و قابلیت پرائندگی بالا، فرآیند کلیدی در برخی صنایع به کار برند رنگ‌ها، رنگدانه‌ها، پوشش‌های کاغذ، جوهرهای چاپگر و غیره بوده است [۱]. بسیاری از کاربردهای صنعتی شامل ذرات در محدوده اندازه نانومتر یا زیر-میکرومتر است. پرائندگی پودرها به عوامل بسیاری بستگی دارد. ۱- حلal باید ذرات را خیس کند، ۲- ذرات باید از یکدیگر جدا شوند و با سیستم حلal مخلوط شوند. سوما، ذرات باید تفکیک شده و از هم جدا باقی بمانند و مجدداً متراکم نشوند [۲]. مولکول‌های پرائنس گر معمولاً یک گروه عاملی قطبی حلal دوست روی یک سمت دارند که قادر است انتهای قطبی مولکول‌ها را روی سطح ذرات آویزان کند، در حالی که، مولکول‌های جذب شده دم انتهایی حلal دوست را برای جلوگیری از تماس مستقیم با ذرات مجاور به درون محیط مایع می‌کشند [۳].

همانند پلی‌یورتان‌های (PU) قطعه‌بندی شده متداول، یون‌های پلی‌یورتان متشکل از قطعات انعطاف‌پذیر با قطبیت کم و گروه‌های یورتان که قطبی هستند (در پیش‌پلیمر پلی‌یورتان گروه‌های یونی بر روی زنجیره اصلی قرار گرفته‌اند) و قادر به برهم‌کنش ازطريق پیوندهای هیدروژنی هستند [۴].

پلی‌یورتان‌ها در گستره وسیعی از کاربردها، از قبیل پوشش‌ها و چسب‌ها به دلیل خواص بی‌نظیرشان بکار برد می‌شود. پلی‌یورتان آب پایه (WPU) به علت خواص مکانیکی خوب، مقاومت در برابر آتش، سمیت پایین و فقدان خطرات زیست‌محیطی، در حد وسیعی گسترش یافته است. در مقایسه با رزین پلی‌یورتان، محصولات نوع پلی‌آکریلات (PA) عملکرد برجسته‌ای در مقاومت در عوامل جوی، آب، و حلal دارد، بنابراین نقش مکملی در عملکرد پلی‌یورتان و پلی‌آکریلات وجود دارد. پلی‌یورتان آکریلات آب پایه (WPUA) می‌تواند با خواص متنوع و افزایش کارایی حاصل از ساختار خاص خود و اصلاح با آکریلات به دست آید [۵].

از کاربردهای بررسی شده پرائنس گرهای پلیمری می‌توان به نقش آنها در پرائنس دی‌اکسید تیتانیم ( $TiO_2$ ) اشاره کرد. دی‌اکسید تیتانیم مهم‌ترین رنگدانه سفید است که در حال حاضر در جهان به کار برد می‌شود و خواص سوسپانسیون‌های آن برای صنایع مصرف کننده از قبیل رنگ‌ها، ساخت کاغذ و پلاستیک‌ها خیلی مهم هستند. پرائنس گرهای پلیمری عمدتاً برای پرائندگان ذرات رنگدانه دی‌اکسید تیتانیم به کار می‌روند. پرائنس گرهای پلیمری آنیونی حاوی گروه‌های کربوکسیل، ناهمواری‌های سطح را کاهش داده و جلای فیلم‌های رنگ خشک را افزایش داده است [۶، ۷]. رفتار تجمع و پرائندگی نانوذرات دی‌اکسید تیتانیم، توسط سینگ<sup>۱</sup> و همکارانش مورد بررسی قرار

2- Kai

3- Lee

4- Dongkang Fu

5- Merck Company

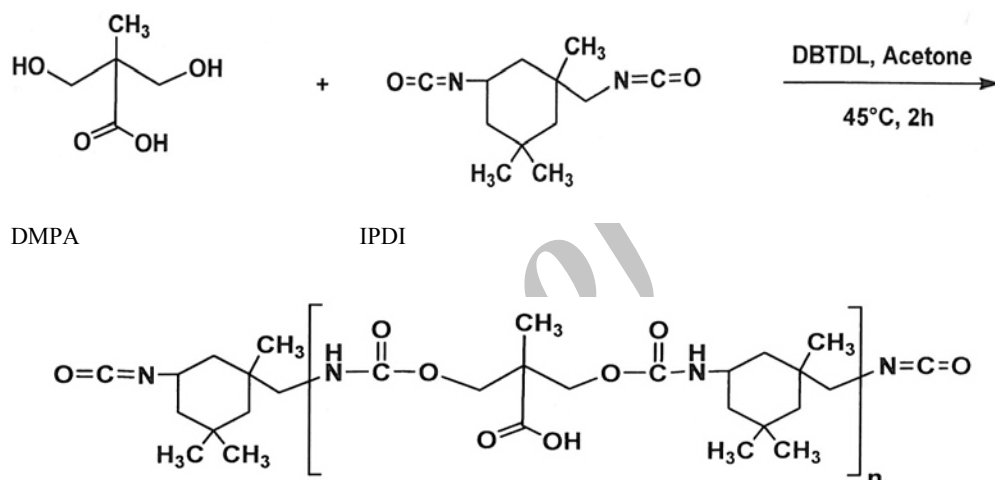
1- Bimal P. Singh

تحت شرایط دمایی قبل روی همزن-گرم کن همزده شد. به دنبال این افزایش، هیدروکسیاتیل متاکریلات با گروههای NCO-DR انتهاهای رنجیر، واکنش می‌دهد. واکنش تا مرحله ناپدید شدن پیک حذب گروه NCO-DR طیف پیش می‌رود و پراکنش گر بورتان آکریلات کربوکسیله قابل پلیمریزاسیون با پرتو فرابنفش تهیه می‌شود. وجود گروههای کربوکسیلیک روی بدنه اصلی زنجیر پلیمر قابلیت پراکندگی ذرات در آب را به پراکنش گر می‌دهد.

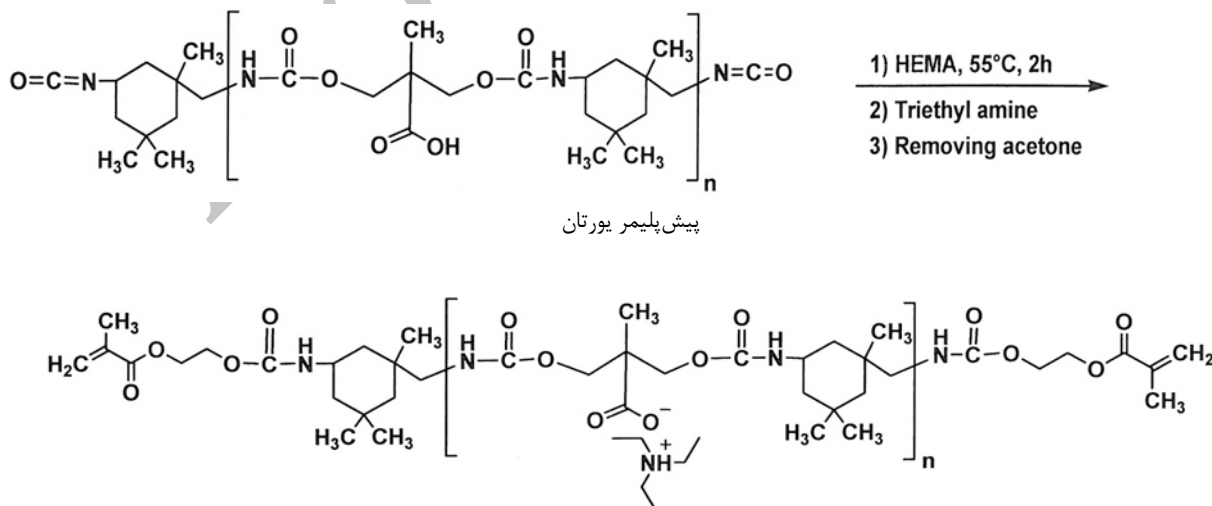
در نهایت به منظور خنثی سازی و تهیه مخلوط محلول در آب پلی یورتان اسیدی دارای پیوند دوگانه انتهاهای، برابر مول مصرفی دی متیلول پروپیونیک اسید، تری اتیل آمین (TEA) افزوده شد و محلول شفاف حاصل درون ظروف شیشه‌ای خشک نگهداری شد.

۱۰۰ میلی لیتری ریخته شد. سپس ۲ مول از ایزووفورن دی-ایزوپریانات (IPDI) به طرف واکنش اضافه شد. مخلوط حاصل به وسیله استن به حجم حدوداً ۵۰ میلی لیتری رسید و در مجاورت کاتالیزور دی بوتیل تین دی لائورات (DBTDL) به مقدار ۰.۲ گرم و تحت دمای ۴۵ °C برای مدت ۲ ساعت روی همزن-گرم کن هم زده شد، تا یک پیش پلیمر که دارای گروههای کربوکسیلیک آبیزان در بدنه اصلی پلیمر و گروههای NCO- در انتهای زنجیر الیگومری است، تولید شود. به دلیل واکنش بذیری بالای ایزوپریانات در مجاورت آب، تمام مراحل واکنش در محیط کاملاً خشک انجام شد.

در مرحله بعد، ۲ مول هیدروکسی اتیل متا-اکریلات (HEMA) و ۰.۲ گرم از کاتالیزور دی بوتیل تین دی لیورات به محلوا، افزوده شد و



شكل ١: سنتر بیش پلیمر یو، تان.



شکل ۲: یورتان آکریلات کربوکسیله تابش پز.

۱۴ برای بررسی کیفیت پراکندگی ذرات استفاده شد [۱۳].

### ۳- نتایج و بحث

#### ۱-۳- طیف FT-IR پراکنش‌گر یورتان آکریلات آنیونی

شکل ۳ طیف FT-IR پراکنش‌گر یورتان آکریلات آنیونی را نشان می‌دهد. طیف IPDI خالص یک نوار جذبی تیز برای گروه‌های NCO در  $2250\text{ cm}^{-1}$  نشان می‌دهد. همانطور که دیده می‌شود، ارتعاش کششی NCO در IPDI در  $2250\text{ cm}^{-1}$ ، ناپدید شده است. این اشاره به این حقیقت دارد که IPDI به طور کامل با گروه‌های هیدروکسیل موجود در هیدروکسیل متاکریلات (HEMA) و دی‌متیلول پروپیونیک اسید (DMPA) مسدود شده است.

ارتعاشات کششی C-H در  $\text{CH}_2$  از  $3063\text{ cm}^{-1}$  در  $3063\text{ cm}^{-1}$  دیده می‌شود. ارتعاشات کششی C-H گروه‌های آلیاتیک در  $2954\text{ cm}^{-1}$  دیده می‌شود. ارتعاش خمثی C-H در  $\text{CH}_3$  در  $1385\text{ cm}^{-1}$  در  $1385\text{ cm}^{-1}$  دیده می‌شود. ارتعاش خمثی C-H در  $\text{CH}_2$  در  $1454\text{ cm}^{-1}$  و  $1464\text{ cm}^{-1}$  دیده می‌شود. ارتعاشات کششی C=O در یورتان یک نوار تیز در  $1714\text{ cm}^{-1}$  نشان می‌دهد. ارتعاش کششی C-O در HEMA پیک جذبی در  $1044\text{ cm}^{-1}$  دیده می‌شود. ارتعاش کششی C-O یورتان در  $1044\text{ cm}^{-1}$  به ارتعاش کششی N در یورتان مربوط است. پیک پهن در  $3334\text{ cm}^{-1}$  به ارتعاش کششی نمک تری‌انیل آمونیوم در گروه‌های COOH در یورتان کریلات آنیونی مربوط است.

- 1- Perkin-Elmer
- 2- Grindometer
- 3- Dispersion.

سنترهایی با مقدار مختلف دی‌متیلول پروپیونیک اسید مطابق جدول ۱ انجام گرفت. میزان کاتالیزور و استن در تمامی آزمایشات ثابت نگهداشت شد.

جدول ۱: مواد اولیه بر حسب نسبت مولی.

| TEA (mol) | IPDI (mol) | DMPA (mol) | پراکنش‌گرها    |
|-----------|------------|------------|----------------|
| ۱         | ۲          | ۱          | D <sub>1</sub> |
| ۲         | ۳          | ۲          | D <sub>2</sub> |
| ۷         | ۸          | ۷          | D <sub>3</sub> |
| ۸         | ۹          | ۸          | D <sub>4</sub> |

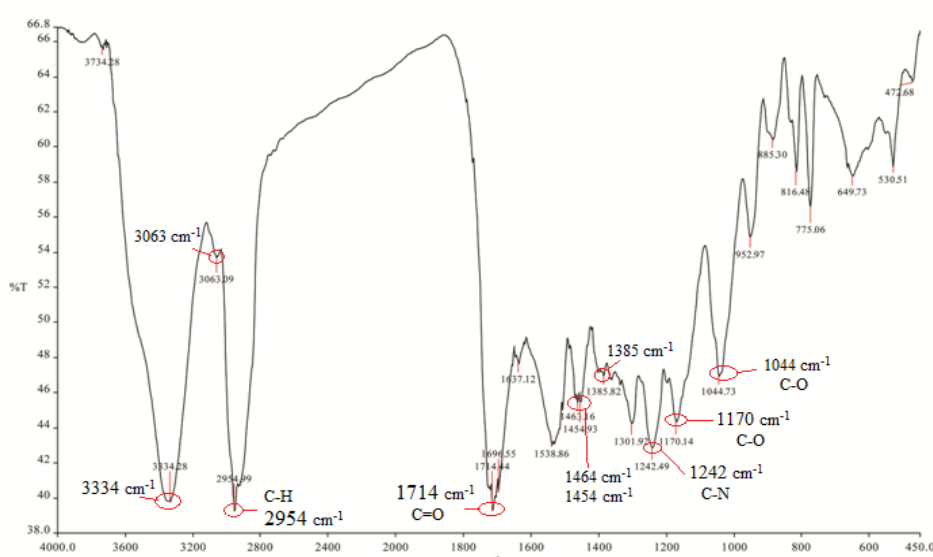
در مقدار ثابت ۲ mol از HEMA

#### ۱-۲-۲- شناسایی و روش‌ها

برای تشخیص ساختار مولکولی پراکنش‌گرهای یورتان آکریلات، از طیف‌سنجی تبدیل فوریه زیر قرمز (FTIR) به کمک دستگاه پرکین-مر استفاده شد. IR روشی موثر برای اندازه‌گیری مقدار گروه NCO در واکنش بین گروه -OH و -NCO در یورتان است. این تبدیل به صورت تابعی از زمان واکنش، در واکنش بین IPDI و DMPA به وسیله FT-IR مورد مطالعه قرار گرفت [۱۲].

#### ۲- گریندومتر

گریندومتر قطعاً ساده‌ترین و پرمصرف‌ترین روش برای تعیین کیفیت پراکنش ذره است. استفاده از آن یک فایده بسیار بزرگ دارد و آن سرعت انجام آزمایش است. گریندومتر میزان پخش شدن ذرات در رزین را اندازه‌گیری می‌کند. استفاده از این روش فقط اندازه بزرگ‌ترین تجمعات ذره را نشان می‌دهد. در این پژوهش از گریندومتر ۱۰۰ مدل EQ-SC3-1 است.



شکل ۳: طیف FTIR پراکنش‌گر پلی-یورتان متاکریلات آنیونی (AUAD).

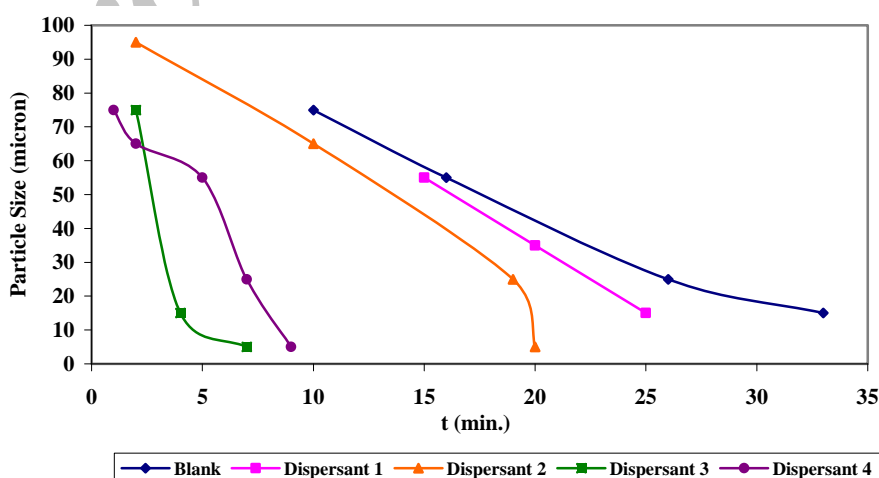
از پراکنش گر یورتان آکریلات کربوکسیله به ظرف حاوی رزین و رنگدانه افزوده شد. درمورد این پراکنش گر کاهش قابل توجهی در زمان پراکنش مشاهده می شود (شکل ۴) و در واقع سریع ترین پراکنش مشاهده شده در این بررسی مربوط به این پراکنش گر است. دلیل این افزایش در سرعت پراکنش را می توان به تعداد مناسب گروههای عاملی کربوکسیلات و درنتیجه افزایش دافعه الکترواستاتیک میان ذرات رنگدانه نسبت داد، که منجر به افزایش سرعت پراکنش رنگدانه می شود. گروههای عاملی کربوکسیلات با بار منفی، به طور قابل توجهی تنفس بازده سوسپانسیون رنگدانه و اندازه متوسط ذره رنگدانه را به وسیله تثبیت استریک-الکترواستاتیک کاهش می دهد [۹].

همچنین افزایش در سرعت پراکنش و پایداری پراکندگی ذرات رنگدانه را می توان درنتیجه اندازه طول مناسب زنجیره پلیمری و ممانعت فضایی میان آنها دانست. وزن مولکولی کم پراکنش گر خواص پراکندگی ذرهای عالی را نشان داده است و می تواند به طور موثری برای پراکندگی محدوده گستردگی از ذرهای آلی و غیرآلی استفاده شود [۱۵]. به منظور بررسی خواص پراکنش گر ۴ که دارای نسبت مولی ۸:۹ به ترتیب از ایزوسیانات و دی متیلول پروپیونیک اسید است، به مقدار معین از پراکنش گر یورتان آکریلات کربوکسیله به ظرف حاوی رزین و رنگدانه افزوده شد. درمورد این پراکنش گر تغییر معنی داری در زمان پراکنش مشاهده می شود (شکل ۴) به این صورت که تا پراکنش گر ۳ با افزایش وزن مولکولی پراکنش گر، زمان پراکنش رنگدانه کاهش می یافتد اما در مورد پراکنش گر ۴ با افزایش در زمان پراکنش در مقایسه با پراکنش گر ۳ مواجه هستیم. این امر را می توان به این صورت بررسی کرد که با افزایش وزن مولکولی پراکنش گر، خواص پراکندگی کاهش می یابد.

۲-۳-بررسی خواص پراکنش گر یورتان آکریلات کربوکسیله به وسیله گریندومتر

۳-۱-بررسی اثرات پراکنش گر بر میزان پخش شدن رنگدانه  $TiO_2$  به منظور بررسی میزان پخش شدن رنگدانه دی اکسید تیتانیم صنعتی ( $TiO_2$ ) در رزین در حضور و عدم حضور پراکنش گر و افزایش وزن مولکولی آن روی پخش شدن رنگدانه ها مورد بررسی قرار گرفت. در اینجا نمودار عملکرد دو پراکنش گر ۱ و پراکنش گر ۳ مورد تحلیل و بررسی قرار می گیرد. اولین پراکنش گر یورتان آکریلات با نسبت ۱:۲ به ترتیب از ایزوسیانات و دی متیلول پروپیونیک اسید به مخلوط رزین و رنگدانه افزوده شد. درنهایت همانطور که در شکل ۴ دیده می شود، کاهش ناچیزی در زمان پراکنش ذرات رنگدانه دی اکسید تیتانیم مشاهده شد. تعدادی از پراکنش گرهای پلی الکتروولیت می توانند هردو پایداری فضایی و الکترواستاتیک را ایجاد کنند. این پلی الکتروولیت ها به طور خاص از گروه قابل یونیزه شدن از قبیل کربوکسیلیک اسید و یک ساختار زنجیر گونه پلیمری تشکیل شده اند [۱۴]. به دلیل کم بودن تعداد گروههای عاملی کربوکسیلات در پراکنش گر ۱ و درنتیجه پایین بودن میزان دافعه الکترواستاتیک ناشی از آن در میان ذرات رنگدانه، کاهش چشمگیری در مدت زمان پراکنش مشاهده نشد. سپس مخلوط نهایی پس از یک روز مجددا مورد بررسی قرار گرفت و تهشیبی در ظرف واکنش مشاهده نشد. این امر نشان دهنده پایداری ذرات رنگدانه پراکنده شده است، که می توان آن را به پایداری فضایی ایجاد شده از طریق طول زنجیره مناسب نسبت داد.

به منظور بررسی خواص پراکنش گر ۳ که دارای نسبت مولی ۷:۸ به ترتیب از ایزوسیانات و دی متیلول پروپیونیک اسید است، به مقدار معین



شکل ۴: نمودار اثر افزایش وزن مولکولی پراکنش گر یورتان آکریلات کربوکسیله بر زمان پخش شدن رنگدانه  $TiO_2$ .

زمان پراکنش ذرات رنگدانه سیلیسیم مشاهده شد. به دلیل کم بودن تعداد گروههای عاملی کربوکسیلات در پراکنش‌گر ۱ و در نتیجه پایین بودن میزان دافعه الکترواستاتیک در میان ذرات رنگدانه، کاهشی در مدت زمان پراکنش مشاهده نشد. سپس مخلوط رنگ نهایی، پس از یک روز مجدداً مورد بررسی قرار گرفت و تنهشینی مشاهده نشد. این امر نشان دهنده پایداری ذرات رنگدانه پراکنده شده است، که می‌توان آن را به پایداری فضایی ایجاد شده از طریق طول زنجیره مناسب نسبت داد.

به منظور بررسی خواص پراکنش‌گر ۳ که دارای نسبت مولی ۷:۸ به ترتیب از ایزوسیانات و دی‌متیلول پروپیونیک اسید است، به مقدار معین از پراکنش‌گر یورتان آکریلات کربوکسیله به ظرف حاوی رزین و رنگدانه افزوده شد. در مورد این پراکنش‌گر کاهشی در زمان پراکنش مشاهده می‌شود (شکل ۵). دلیل این افزایش در سرعت پراکنش را می‌توان به تعداد مناسب گروههای عاملی کربوکسیلات و درنتیجه افزایش دافعه الکترواستاتیک میان ذرات رنگدانه نسبت داد، که منجر به افزایش سرعت پراکنش رنگدانه می‌شود.

همچنین افزایش در سرعت پراکنش و پایداری پراکندگی ذرات رنگدانه را می‌توان درنتیجه اندازه طول مناسب زنجیره پلیمری و ممانعت فضایی میان آنها دانست.

به منظور بررسی خواص پراکنش‌گر ۴ که دارای نسبت مولی ۸:۹ به ترتیب از ایزوسیانات و دی‌متیلول پروپیونیک اسید است، به مقدار معین از پراکنش‌گر یورتان آکریلات کربوکسیله به ظرف حاوی رزین و رنگدانه افزوده شد. در اینجا نیز تغییر معنی‌داری در زمان پراکنش مشاهده می‌شود (شکل ۵) به این صورت که پراکنش‌گر ۳ با افزایش وزن مولکولی پراکنش‌گر، زمان پراکنش رنگدانه کاهش می‌یابد اما در مورد پراکنش‌گر ۴ با افزایش در زمان پراکنش در مقایسه با پراکنش‌گر ۳ مواجه هستیم.

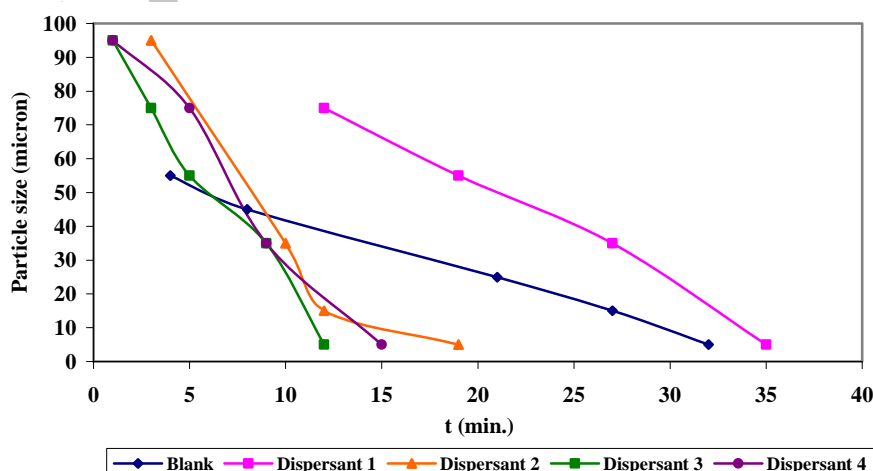
وزن مولکولی پراکنش‌گرهای پلیمری باید برای تولید زنجیره‌های پلیمری با طول مناسب برای غلبه‌کردن بر نیروهای واندروالس جاذبه بین ذرات رنگدانه مناسب باشند. پراکنش‌گرهایی با وزن مولکولی بالا دارای زنجیره‌های بسیار بلند هستند، که پتانسیل بالایی از ارتباط ذره-ذره دارند، علاوه براین تمایل دارند روی خود تا بخورند، که باعث لخته‌سازی می‌شود. بنابراین، وزن‌های مولکولی بسیار بالا عملکرد پراکنش‌گر را کاهش می‌دهند [۶]. از طرفی، مخلوط رنگ حاوی این پراکنش‌گر، پس از یک روز مورد بررسی بصری قرار گرفت و شاهد تنهشینی ذرات رنگدانه بودیم، که تایید کننده تاثیر منفی وزن مولکولی بسیار بالای پراکنش‌گر در پایداری ذرات است.

### ۲-۲-۳- بررسی اثرات پراکنش‌گر بر میزان پخش شدن رنگدانه



به منظور بررسی میزان پخش شدن رنگدانه سیلیسیم ( $\text{SiO}_2$ ) با اندازه ذره کمتر از ۰.۵ mm در رزین در حضور و عدم حضور پراکنش‌گر پلی‌یورتان آکریات کربوکسیله، از وسیله گریندومتر استفاده شد. به منظور بررسی تاثیر پراکنش‌گر بر مدت زمان پراکنش، اندازه ذرات و میزان پایداری ذرات پراکنده شده در مخلوط، در ابتدا نموده شاهد که فاقد پراکنش‌گر است را تهییه کرده و اندازه ذرات پراکنده شده رنگدانه سیلیس را در زمان‌های مختلف و به وسیله گریندومتر مورد بررسی قرار گرفت. همان‌طور که در شکل ۵ نمایش داده شده، طی گذر زمان اندازه ذرات کاهش می‌یابد، تا اینکه حدود ۳۰ دقیقه بعداز شروع همزدن مخلوط، اندازه ذرات رنگدانه به زیر ۱۰  $\mu\text{m}$  کاهش یافت. در اینجا نمودار عملکرد دو پراکنش‌گر ۱، پراکنش‌گر ۳ و پراکنش‌گر ۴ مورد تحلیل و بررسی قرار می‌گیرد.

اولین پراکنش‌گر یورتان آکریلات با نسبت ۱:۲ به ترتیب از ایزوسیانات و دی‌متیلول پروپیونیک اسید به مخلوط افزوده شد. درنهایت همان‌طور که در شکل ۵ دیده می‌شود، افزایش ناچیزی در



شکل ۵: نمودار اثر افزایش وزن مولکولی پراکنش‌گر یورتان آکریلات کربوکسیله بر زمان پخش شدن رنگدانه  $\text{SiO}_2$ .

تیتانیم بیشتر است لذا جاذبه الکترواستاتیک میان ذرات دی اکسید تیتانیم و گروههای کربوکسیلات پراکنش گر پلی بورقان بیشتر از رنگدانه سیلیس است و در نتیجه پراکندگی و پایداری ذرات سریع تر رخ می دهد.

#### ۴- نتیجه گیری

در این پژوهش، پلیمر آبیونی با قابلیت بسپارش نوری، بورقان آکریلات کربوکسیله تابش پز را به طور موقیت آمیزی سنتر شد. ساختار مولکولی پراکنش گر پلی بورقان به وسیله FT-IR مشخص شد. بر طبق نتایج بدست آمده، افزودن پراکنش گر بورقان آکریلات کربوکسیله به مخلوطها، باعث کاهش محسوسی در زمان پراکنش نانوذرات می شود. همچنین در افزایش پایداری سوسپانسیون ها تاثیر بسزایی دارد. از طرفی، به دلیل وجود گروههای آکریلات در انتهایش قابلیت پخت با پرتو فرابنفش را دارا می باشد. همین طور با افزایش وزن مولکولی پراکنش گر، زمان پراکنش رنگدانه کاهش می یابد. در واقع می توان گفت با افزایش گروههای کربوکسیلیک روی زنجیره پلیمری دافعه الکترواستاتیک میان ذرات رنگدانه افزایش یافته لذا سرعت پراکنش افزایش یافته و میزان تجمعات کاهش می یابد. اما با افزایش بیشتر وزن مولکولی (پراکنش گر<sup>۴</sup>، شاهد کاهش نسبی در سرعت پراکنش هستیم که می توان آن را به مزاحمت فضایی میان زنجیرهای پلیمری پراکنش گر نسبت داد. همچنین با بررسی کشش سطحی رزین در حضور پراکنش گر، کاهشی در کشش سطحی رزین در حضور پراکنش گر مشاهده شد. در واقع گرانزوی ظاهری کاهش می یابد. این نتایج تایید کننده عملکرد صحیح پراکنش گر بورقان آکریلات کربوکسیله است.

وزن مولکولی پراکنش گرهای پلیمری باید برای تولید زنجیره های پلیمری با طول مناسب برای غلبه کردن بر نیروهای وان دروالس جاذبه بین ذرات رنگدانه مناسب باشند. پراکنش گرهایی با وزن مولکولی بالا دارای زنجیره های بسیار بلند هستند، که پتانسیل بالای از ارتباط ذره- ذره دارند، علاوه بر این تمایل دارند روی خود تا بخورند، که باعث لخته سازی است. بنابراین، وزن های مولکولی بسیار بالا عملکرد پراکندگی را کاهش می دهند [۶]. همچنین مخلوط رنگ حاوی این پراکنش گر، پس از یک روز مورد بررسی بصیری قرار گرفت و شاهد تهشیینی ذرات رنگدانه بودیم، که تایید کننده تاثیر منفی وزن مولکولی بسیار بالای پراکنش گر در پایداری ذرات است.

اگر زنجیره ها خیلی کوتاه باشند، سد ضخیم مناسبی برای جلوگیری از تراکم رنگدانه تولید نخواهد کرد و بنابراین وزن های مولکولی بسیار کم، موجب ناپایداری پراکندگی می شوند [۶]. از سوی دیگر، همانطور که مشاهده شد، حداقل زمان پراکنش ذرات رنگدانه دی اکسید تیتانیم از این مقدار در رنگدانه سیلیس کمتر است، در واقع ذرات دی اکسید تیتانیم به وسیله پراکنش گر- ۳- ۷ حدوداً دقیقه پس از شروع همزدن پراکنده شدن در حالیکه این پراکنش گر ذرات رنگدانه سیلیس را در حدود ۱۲ دقیقه پراکنده کرد. تعدادی از پراکنش گرهای پلی الکتروولیت می توانند هردو پایداری فضایی و الکترواستاتیک را ایجاد کنند. این پلی الکتروولیت ها به طور خاص از گروه قابل یونیزه شدن از قبیل کربوکسیلیک اسید و یک ساختار زنجیر گونه پلیمری تشکیل شده اند. خواص جذبی این پلی الکتروولیت ها به خواص فیزیکی و شیمیایی سطوح ذره و محیط حلال وابسته هستند [۱۴]. از آنجایی که شرایط محیط در طول بررسی ثابت بوده است، علت این تفاوت را می توان به اسیدی تر بودن دی اکسید تیتانیم نسبت به دی اکسید سیلیس نسبت داد. در واقع به دلیل پایین تر بودن الکترونگاتیویته تیتانیم (۱.۳) نسبت به سیلیس (۱.۷) خصلت اسیدی دی اکسید

#### ۵- مراجع

- D. Fu, S. Wu, X. He, J. Ni. Preparation and property analysis of polyacrylate dispersant for calcium carbonate. *Colloids and Surfaces A: Physicochem. Eng. Aspects*, 326(2008), 122-128.
- B. P. Singh, S. Bhattacharjee, L. Besra, Influence of surface charge on maximizing solids loading in colloidal processing of alumina. *Mater. Lett.* 56(2002), 475-480.
- W. J. Tseng, C. Chen. Effect of polymeric dispersant on rheological behavior of nickel/terpineol suspensions. *Mater. Sci. Eng.* 347(2003), 145-153.
- S. A. Madbouly, J. U. Otaigbe, Recent advances in synthesis, characterization and rheological properties of polyurethanes and POSS/polyurethane nanocomposites dispersions and films. *Prog. Polym. Sci.* 34(2009), 1283-1332.
- H. Xu, F. Qiu, Y. Wang, W. Wu, D. Yang, Q. Guo. UV-curable waterborne polyurethane-acrylate: Preparation, characterization and properties. *Prog. Org. Coat.* 73(2012), 47-53.
- S. Farrokhpay, A review of polymeric dispersant stabilization of titania pigment. *Adv. Colloid Interface Sci.* 151(2009), 24-32.
- S. Farrokhpay, G. E. Morris, D. Fornasiero, P. Self. Stabilisation of titania pigment particles with anionic polymeric dispersants. *Powder Technol.* 202(2010), 143-150.
- B. P. Singh, S. Nayak, S. Samal, S. Bhattacharjee, L. Besra. The role of poly(methacrylic acid) conformation on dispersion behavior of nano TiO<sub>2</sub> powder. *Appl. Surf. Sci.* 258(2012), 3524- 3531.
- S. Farrokhpay, TiO<sub>2</sub> pigment suspension behaviour upon adsorption of polymeric dispersant. *Prog. Color Colorants Coat.* 3(2010), 66-72.
- K. Cai, M. Ode, H. Murakami, Influence of polyelectrolyte dispersants on the surface chemical properties of aluminum in aqueous suspension. *Colloids Surf. A*, 284-285 (2006)

- 458–463.
11. E. H. Lee, M. K. Lee, C. K. Rhee, Preparation of stable dispersions of Ni nanoparticles using a polymeric dispersant in water. *Mater. Sci. Eng. A*, 449(2007), 765–768.
  12. X. Deng, F. Liu, Y. Luo, Y. Chen, D. Jia. Preparation, characterization and application of polymeric diols with comb-branched structure and their nanocomposites containing montmorillonites. *Eur. Polym. J.* 43(2007), 704–714.
  13. ERICHSEN GmbH &Co.KG. WWW.erichsen.de. Chemistryg.parsiblog.com.
  14. D. Waldbillig, O. Kesler. The effect of solids and dispersant loadings on the suspension viscosities and deposition rates of suspension plasma sprayed YSZ coatings. *Surf. Coat. Technol.* 203(2009), 2098–2101.
  15. W. J. Blank. Formulating polyurethane dispersions. www.wernerblank.com. 17:34:18 2013/03/15.

Archive of SID